

# Vorstellung der bisherigen Forschungsgebiete

## Gebietsüberwachung, Funktionsapproximation

Dennis Schieferdecker ([schiefer@ira.uka.de](mailto:schiefer@ira.uka.de))

ITI Sanders, Universität Karlsruhe (TH)

29.09.2008



# Inhaltsverzeichnis

---

- » Gebietsüberwachung
- » Funktionsapproximation
- » Schlussteil



- | -

# Gebietsüberwachung

energie-effizient, sensorbasiert

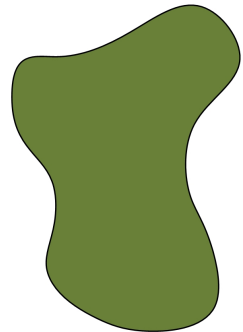


# Überblick

## Problemformulierung - 1

### Überwachung eines Gebietes

- Gebiet  $F$  soll permanent überwacht werden (z.B. Temperatur, unerlaubtes Betreten, ...)
- Ausbringung von  $N$  Sensorknoten
  - ↪  $N$  wesentlich größer als nötig für vollständige Überwachung von  $F$
- Aktiviere zu jedem Zeitpunkt nur so viele Sensoren wie nötig
  - ↪ Überwachungsdauer  $T$  maximieren



Gebiet F

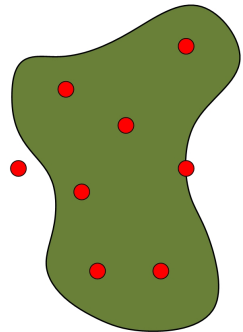


# Überblick

## Problemformulierung - 1

### Überwachung eines Gebietes

- » Gebiet  $F$  soll permanent überwacht werden (z.B. Temperatur, unerlaubtes Betreten, ...)
- » Ausbringung von  $N$  Sensorknoten
  - ↪  $N$  wesentlich größer als nötig für vollständige Überwachung von  $F$
- » Aktiviere zu jedem Zeitpunkt nur so viele Sensoren wie nötig
  - ↪ Überwachungsdauer  $T$  maximieren



● Sensorknoten

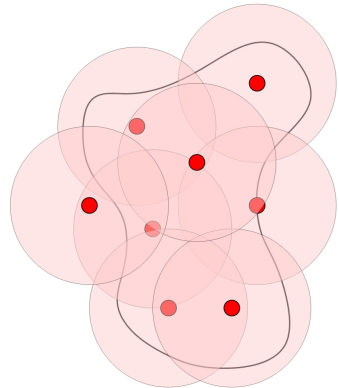


# Überblick

## Problemformulierung - 1

### Überwachung eines Gebietes

- Gebiet  $F$  soll permanent überwacht werden (z.B. Temperatur, unerlaubtes Betreten, ...)
- Ausbringung von  $N$  Sensorknoten
  - ↪  $N$  wesentlich größer als nötig für vollständige Überwachung von  $F$
- Aktiviere zu jedem Zeitpunkt nur so viele Sensoren wie nötig
  - ↪ Überwachungsdauer  $T$  maximieren

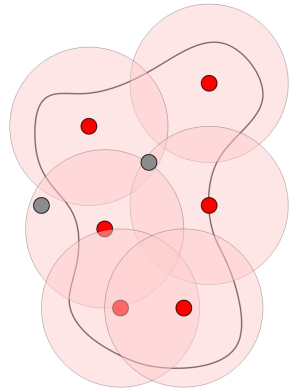


# Überblick

## Problemformulierung - 1

### Überwachung eines Gebietes

- Gebiet  $F$  soll permanent überwacht werden (z.B. Temperatur, unerlaubtes Betreten, ...)
- Ausbringung von  $N$  Sensorknoten
  - ↪  $N$  wesentlich größer als nötig für vollständige Überwachung von  $F$
- Aktiviere zu jedem Zeitpunkt nur so viele Sensoren wie nötig
  - ↪ Überwachungsdauer  $T$  maximieren



# Überblick

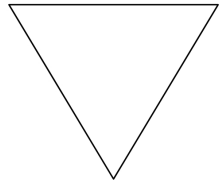
## Problemformulierung - 2

### Problembezeichnung

Scheduling of nodes for Lifetime maximization of area Coverage (SLC)

### Beispiel

- » Sensoren A, B, C mit Kapazität 1
- » 3 mögliche Überdeckungen: AB, BC, AC
- (a) Lasse AB für  $t=1$  aktiv  
↪  $T = 1.0$ , keine weitere Überdeckung
- (b) Lasse AB für  $t=0.5$  aktiv,  
danach BC für  $t=0.5$  aktiv,  
danach CA für  $t=0.5$  aktiv  
↪  $T = 1.5$ , 50% längere Laufzeit



# Überblick

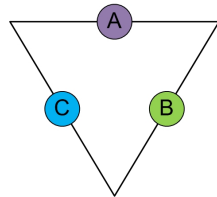
## Problemformulierung - 2

### Problembezeichnung

Scheduling of nodes for Lifetime maximization of area Coverage (SLC)

### Beispiel

- » Sensoren A, B, C mit Kapazität 1
- » 3 mögliche Überdeckungen: AB, BC, AC
- (a) Lasse AB für  $t=1$  aktiv  
↪  $T = 1.0$ , keine weitere Überdeckung
- (b) Lasse AB für  $t=0.5$  aktiv,  
danach BC für  $t=0.5$  aktiv,  
danach CA für  $t=0.5$  aktiv  
↪  $T = 1.5$ , 50% längere Laufzeit



# Überblick

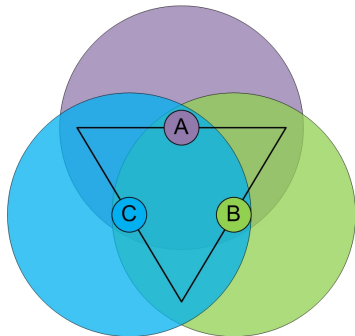
## Problemformulierung - 2

### Problembezeichnung

Scheduling of nodes for Lifetime maximization of area Coverage (SLC)

### Beispiel

- » Sensoren A, B, C mit Kapazität 1
- » 3 mögliche Überdeckungen: AB, BC, AC
- (a) Lasse AB für  $t=1$  aktiv  
↪  $T = 1.0$ , keine weitere Überdeckung
- (b) Lasse AB für  $t=0.5$  aktiv,  
danach BC für  $t=0.5$  aktiv,  
danach CA für  $t=0.5$  aktiv  
↪  $T = 1.5$ , 50% längere Laufzeit



Dennis Schieferdecker – Forschungsinteressen



# Überblick

## Problemformulierung - 2

### Problembezeichnung

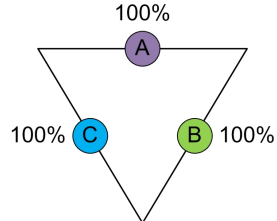
Scheduling of nodes for Lifetime maximization of area Coverage (SLC)

### Beispiel

- » Sensoren A, B, C mit Kapazität 1
- » 3 mögliche Überdeckungen: AB, BC, AC

- (a) Lasse AB für  $t=1$  aktiv  
 $\hookrightarrow T = 1.0$ , keine weitere Überdeckung
- (b) Lasse AB für  $t=0.5$  aktiv,  
 danach BC für  $t=0.5$  aktiv,  
 danach CA für  $t=0.5$  aktiv  
 $\hookrightarrow T = 1.5$ , 50% längere Laufzeit

(a) triviale Lösung



# Überblick

## Problemformulierung - 2

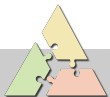
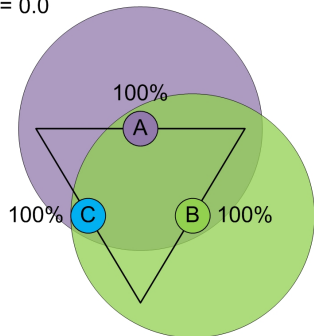
### Problembezeichnung

Scheduling of nodes for Lifetime maximization of area Coverage (SLC)

### Beispiel

- » Sensoren A, B, C mit Kapazität 1
- » 3 mögliche Überdeckungen: AB, BC, AC
- (a) Lasse AB für  $t=1$  aktiv  
 $\hookrightarrow T = 1.0$ , keine weitere Überdeckung
- (b) Lasse AB für  $t=0.5$  aktiv,  
 danach BC für  $t=0.5$  aktiv,  
 danach CA für  $t=0.5$  aktiv  
 $\hookrightarrow T = 1.5$ , 50% längere Laufzeit

$t = 0.0$



# Überblick

## Problemformulierung - 2

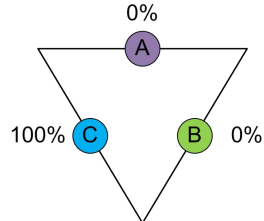
### Problembezeichnung

Scheduling of nodes for Lifetime maximization of area Coverage (SLC)

### Beispiel

- » Sensoren A, B, C mit Kapazität 1
- » 3 mögliche Überdeckungen: AB, BC, AC
- (a) Lasse AB für  $t=1$  aktiv  
 $\hookrightarrow T = 1.0$ , keine weitere Überdeckung
- (b) Lasse AB für  $t=0.5$  aktiv,  
 danach BC für  $t=0.5$  aktiv,  
 danach CA für  $t=0.5$  aktiv  
 $\hookrightarrow T = 1.5$ , 50% längere Laufzeit

$t = 1.0$



# Überblick

## Problemformulierung - 2

### Problembezeichnung

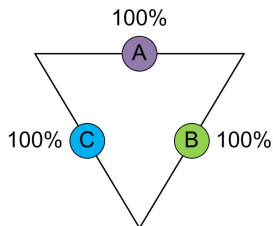
Scheduling of nodes for Lifetime maximization of area Coverage (SLC)

### Beispiel

- » Sensoren A, B, C mit Kapazität 1
- » 3 mögliche Überdeckungen: AB, BC, AC

- (a) Lasse AB für  $t=1$  aktiv  
 $\hookrightarrow T = 1.0$ , keine weitere Überdeckung
- (b) Lasse AB für  $t=0.5$  aktiv,  
 danach BC für  $t=0.5$  aktiv,  
 danach CA für  $t=0.5$  aktiv  
 $\hookrightarrow T = 1.5$ , 50% längere Laufzeit

(b) optimale Lösung



# Überblick

## Problemformulierung - 2

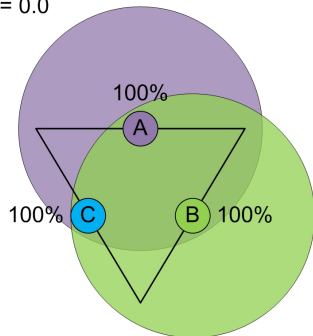
### Problembezeichnung

Scheduling of nodes for Lifetime maximization of area Coverage (SLC)

### Beispiel

- » Sensoren A, B, C mit Kapazität 1
- » 3 mögliche Überdeckungen: AB, BC, AC
- (a) Lasse AB für  $t=1$  aktiv  
 $\hookrightarrow T = 1.0$ , keine weitere Überdeckung
- (b) Lasse AB für  $t=0.5$  aktiv,  
 danach BC für  $t=0.5$  aktiv,  
 danach CA für  $t=0.5$  aktiv  
 $\hookrightarrow T = 1.5$ , 50% längere Laufzeit

$t = 0.0$



Dennis Schieferdecker – Forschungsinteressen



# Überblick

## Problemformulierung - 2

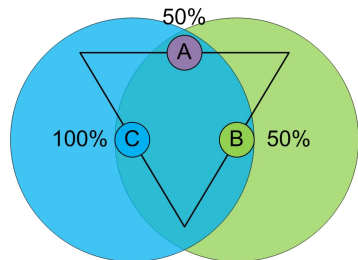
### Problembezeichnung

Scheduling of nodes for Lifetime maximization of area Coverage (SLC)

### Beispiel

- » Sensoren A, B, C mit Kapazität 1
- » 3 mögliche Überdeckungen: AB, BC, AC
- (a) Lasse AB für  $t=1$  aktiv  
 $\hookrightarrow T = 1.0$ , keine weitere Überdeckung
- (b) Lasse AB für  $t=0.5$  aktiv,  
 danach BC für  $t=0.5$  aktiv,  
 danach CA für  $t=0.5$  aktiv  
 $\hookrightarrow T = 1.5$ , 50% längere Laufzeit

$t = 0.5$



Dennis Schieferdecker – Forschungsinteressen



# Überblick

## Problemformulierung - 2

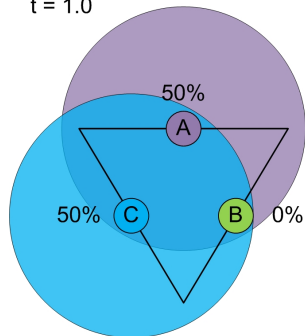
### Problembezeichnung

Scheduling of nodes for Lifetime maximization of area Coverage (SLC)

### Beispiel

- » Sensoren A, B, C mit Kapazität 1
- » 3 mögliche Überdeckungen: AB, BC, AC
- (a) Lasse AB für  $t=1$  aktiv  
 $\hookrightarrow T = 1.0$ , keine weitere Überdeckung
- (b) Lasse AB für  $t=0.5$  aktiv,  
 danach BC für  $t=0.5$  aktiv,  
 danach CA für  $t=0.5$  aktiv  
 $\hookrightarrow T = 1.5$ , 50% längere Laufzeit

$t = 1.0$



Dennis Schieferdecker – Forschungsinteressen



# Überblick

## Problemformulierung - 2

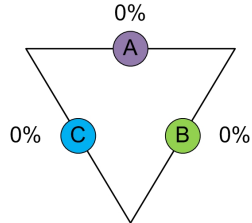
### Problembezeichnung

Scheduling of nodes for Lifetime maximization of area Coverage (SLC)

### Beispiel

- » Sensoren A, B, C mit Kapazität 1
- » 3 mögliche Überdeckungen: AB, BC, AC
- (a) Lasse AB für  $t=1$  aktiv  
 $\hookrightarrow T = 1.0$ , keine weitere Überdeckung
- (b) Lasse AB für  $t=0.5$  aktiv,  
 danach BC für  $t=0.5$  aktiv,  
 danach CA für  $t=0.5$  aktiv  
 $\hookrightarrow T = 1.5$ , 50% längere Laufzeit

$t = 1.5$



# Problemformulierung

## Beschreibung des Modells

### gegeben:

- » Gebiet  $F$
- »  $N$  Sensorknoten  $S = \{s_i\}$  mit
  - » fester Position im Gebiet  $F$
  - » kreisförmigem Überwachungsbereich (Radius  $r$ )
  - » beschränkter Kapazität  $c_i$

### gesucht:

- » maximale Zeit  $T$ , die das gesamte Gebiet überwacht werden kann
- » Lösung umfasst:
  - » Einteilung der Sensoren in  $M$  Covers  $\{C_j\}$ , die das Gebiet überwachen
  - » Zeiten  $\{t_j\}$  die jedes Cover  $C_j$  aktiv ist (Scheduling)



# Problemformulierung

## Beschreibung mit Linear Programming (LP)

Zu maximieren: Überwachungszeitraum

$$T = \max \{ \mathbf{b}^T \mathbf{t} \mid \mathbf{t} \in \mathbb{R}^M \}$$

Nebenbedingungen: begrenzte Knotenkapazitäten

$$\sum_{j=1}^M A_{i,j} t_j \leq c_i \quad i = 1, \dots, N$$

- »  $t_j$ : Dauer für Cover  $\mathcal{C}_j$  aktiv
- »  $b_j$ : 1
- »  $A_{i,j}$ : 1, wenn Knoten  $s_i$  in Cover  $\mathcal{C}_j$  aktiv, sonst 0
- »  $c_i$ : Kapazität von Knoten  $s_i$

Dennis Schieferdecker – Forschungsinteressen



# Linear Programming

## Nützliche Eigenschaften

### Duales Problem

Zu jedem **primalem Problem**

$$\max\{\mathbf{b}^T \mathbf{t} \mid A\mathbf{t} \leq \mathbf{c}, \mathbf{t} \in \mathbb{R}^M\}$$

existiert ein **duales Problem**

$$\min\{\mathbf{c}^T \mathbf{w} \mid A^T \mathbf{w} \geq \mathbf{b}, \mathbf{w} \in \mathbb{R}^N\}$$

- »  $w_i$ : neue Variable für duales Problem  
Interpretation für SLC: "Kosten" eines Knotens  $s_i$

Dennis Schieferdecker – Forschungsinteressen



# Schwere des Problems

## Skizze des NP-Vollständigkeits-Beweises - 1

- (1) **Separationsproblem** für das duale Problem von SLC:  
gleiche Komplexität wie primales Problem [GrötschelLoSc81]

Gegeben  $w$ , existiert ein Cover  $C_j$  mit Kosten  $\sum_{i, A_{i,j}=1} w_i < b_j$  ?

- (2) **Minimum Dominating Set (MDS)** für Unit Disk Graphen:  
bewiesenermaßen NP-hart [MasuyamaIbHa81]

Gegeben ein Unit Disk Graph  $G = (S, E)$ , finde  $D \subseteq S$  mit  $|D|$  minimal und f.a.  $d \in D$ :  $d \in S$  oder  $(d, s) \in E$  mit  $s \in S$



# Schwere des Problems

## Skizze des NP-Vollständigkeits-Beweises - 2

- Man kann zeigen, dass (2) ein Spezialfall von (1) ist
  - Sensornetzwerk als Unit Disk Graph interpretieren
  - zu überwachende Fläche auf Positionen der Knoten reduzieren
  - alle Knoten-Kosten gleich wählen
- ⇒ **SLC ist NP-hart**
  
- Eine potentielle Lösung kann in polynomieller Zeit überprüft werden
- ⇒ **SLC ist NP-vollständig**



# Approximationsalgorithmus

## Vorbemerkungen

### Definitionen

- » Sei  $T_r$  eine Lösung für eine Instanz von SLC mit Sensorradien  $r$ ,
- »  $T_r = opt_r$  sei die optimale Lösung

### Ansatz

- » **Relaxiere** zwei **Eigenschaften**, um eine approximierte Lösung schnell berechnen zu können
  - » **Sensorradien  $r$**
  - » **max. Überwachungsdauer  $T$**

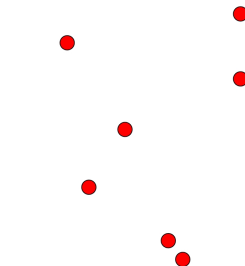


# Approximationsalgorithmus

## Vorgehen - erste Approximation

### Sensorradien

- » Diskretisierung der Sensorpositionen auf Gitterpunkte eines  $r \cdot \delta/2$ -Gitters
  - » Algorithmus  $\mathcal{A}$  liefere eine  $\alpha$ -Approximation für dieses Problem
  - $\mathcal{A}$  liefert Lösungen  $T_r \geq \alpha \cdot \text{opt}_{(1-\delta)r}$  für das Originalproblem
- Relaxierung der festen Sensorradien: entspricht Vergrößerung um  $\delta$



● Sensorknoten

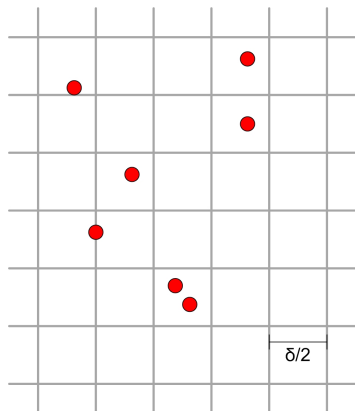


# Approximationsalgorithmus

## Vorgehen - erste Approximation

### Sensorradien

- » Diskretisierung der Sensorpositionen auf Gitterpunkte eines  $r \cdot \delta/2$ -Gitters
  - » Algorithmus  $\mathcal{A}$  liefere eine  $\alpha$ -Approximation für dieses Problem
  - $\mathcal{A}$  liefert Lösungen  $T_r \geq \alpha \cdot \text{opt}_{(1-\delta)r}$  für das Originalproblem
- Relaxierung der festen Sensorradien:  
entspricht **Vergrößerung um  $\delta$**

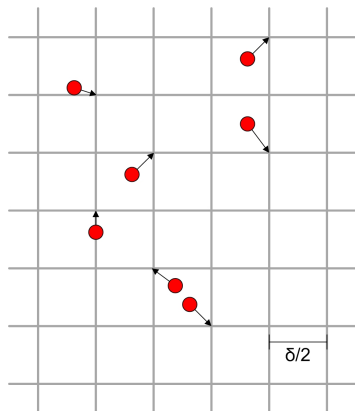


# Approximationsalgorithmus

## Vorgehen - erste Approximation

### Sensorradien

- » Diskretisierung der Sensorpositionen auf Gitterpunkte eines  $r \cdot \delta/2$ -Gitters
  - » Algorithmus  $\mathcal{A}$  liefere eine  $\alpha$ -Approximation für dieses Problem
  - $\mathcal{A}$  liefert Lösungen  $T_r \geq \alpha \cdot \text{opt}_{(1-\delta)r}$  für das Originalproblem
- Relaxierung der festen Sensorradien:  
entspricht **Vergrößerung um  $\delta$**



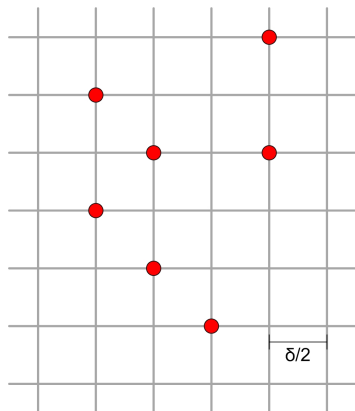
# Approximationsalgorithmus

## Vorgehen - erste Approximation

### Sensorradien

- » Diskretisierung der Sensorpositionen auf Gitterpunkte eines  $r \cdot \delta/2$ -Gitters
- » Algorithmus  $\mathcal{A}$  liefere eine  $\alpha$ -Approximation für dieses Problem
- $\mathcal{A}$  liefert Lösungen  $T_r \geq \alpha \cdot \text{opt}_{(1-\delta)r}$  für das Originalproblem

- Relaxierung der festen Sensorradien: entspricht Vergrößerung um  $\delta$



# Approximationsalgorithmus

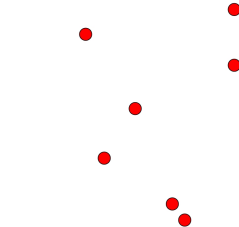
## Vorgehen - zweite Approximation

### Überwachungsdauer

- Erzeuge Unterteilung  $\mathcal{T}$  des Gebiets in Kacheln mit Kantenlänge  $k = \lceil 10/\epsilon \rceil$
- Erzeuge Verschiebungen  $\mathcal{T}_i$  von  $\mathcal{T}$  um  $(i, i)$  mit  $i \in \mathbb{Z}_k$

### Beobachtung für $r = 1$ :

- für jede Sensorfläche gilt:
  - geschnitten von max. 2 der  $\mathcal{T}_i$ ,
  - dann verteilt auf max. 4 Kacheln



● Sensorknoten



# Approximationsalgorithmus

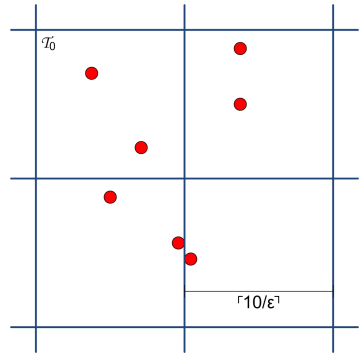
## Vorgehen - zweite Approximation

### Überwachungsdauer

- Erzeuge Unterteilung  $\mathcal{T}$  des Gebiets in Kacheln mit Kantenlänge  $k = \lceil 10/\epsilon \rceil$
- Erzeuge Verschiebungen  $\mathcal{T}_i$  von  $\mathcal{T}$  um  $(i, i)$  mit  $i \in \mathbb{Z}_k$

### Beobachtung für $r = 1$ :

- für jede Sensorfläche gilt:
  - geschnitten von max. 2 der  $\mathcal{T}_i$ ,
  - dann verteilt auf max. 4 Kacheln



# Approximationsalgorithmus

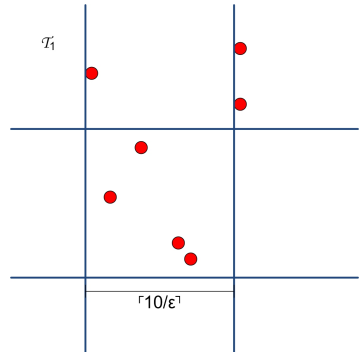
## Vorgehen - zweite Approximation

### Überwachungsdauer

- Erzeuge Unterteilung  $\mathcal{T}$  des Gebiets in Kacheln mit Kantenlänge  $k = \lceil 10/\epsilon \rceil$
- Erzeuge Verschiebungen  $\mathcal{T}_i$  von  $\mathcal{T}$  um  $(i, i)$  mit  $i \in \mathbb{Z}_k$

### Beobachtung für $r = 1$ :

- für jede Sensorfläche gilt:
  - geschnitten von max. 2 der  $\mathcal{T}_i$ ,
  - dann verteilt auf max. 4 Kacheln



Dennis Schieferdecker – Forschungsinteressen



# Approximationsalgorithmus

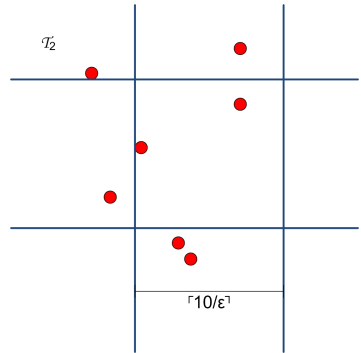
## Vorgehen - zweite Approximation

### Überwachungsdauer

- Erzeuge Unterteilung  $\mathcal{T}$  des Gebiets in Kacheln mit Kantenlänge  $k = \lceil 10/\epsilon \rceil$
- Erzeuge Verschiebungen  $\mathcal{T}_i$  von  $\mathcal{T}$  um  $(i, i)$  mit  $i \in \mathbb{Z}_k$

### Beobachtung für $r = 1$ :

- für jede Sensorfläche gilt:
  - geschnitten von max. 2 der  $\mathcal{T}_i$ ,
  - dann verteilt auf max. 4 Kacheln





# Approximationsalgorithmus

## Vorgehen - zweite Approximation

- » Algorithmus  $\mathcal{A}$  liefere  $\alpha$ -Approximation für SLC Probleme beschränkt auf Gebiete der Größe  $k \times k$ 
  - » Anwendung von  $\mathcal{A}$  auf jede Kachel von  $\mathcal{T}_i$  liefert Lösung mit:
    - »  $T_1 = \alpha \cdot opt_1$
    - » max. 4x Überlastung jedes Sensors
  - » Vereinigung der Lösungen  $\{t_j\}_i$  aller  $\mathcal{T}_i$  nach  $\{t_j\} = \frac{1-\epsilon}{k} \sum_{i \in \mathbb{Z}_k} \{t_j\}_i$  liefert Gesamtlösung mit:
    - »  $T_1 = (1 - \epsilon) \cdot \alpha \cdot opt_1$
    - » keine Überlastung der Sensoren

→ Relaxierung der maximalen Überwachungsdauer:  
entspricht **Verkleinerung um  $\epsilon$**



# Approximationsalgorithmus

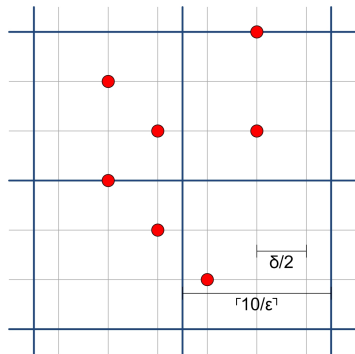
## Vorgehen - gesamt

### Verbindung beider Approximationen

- » benötige Algorithmus  $\mathcal{A}$ , der  $\alpha$ -Approximation für SLC berechnet
  - » für Gebiete der Größe  $k \times k$ , und
  - » für diskretisierte Sensorpositionen auf Gitterpunkte mit Abstand  $\delta/2$

### Beobachtung:

- » Jede Kachel wird von maximal  $O(1/\delta^2 \epsilon^2)$  Sensorknoten berührt
- unabhängig von  $N$  !



# Approximationsalgorithmus

## Ergebnis - 1

### Approximationsgarantie

$$T_1 \geq (1 - \epsilon) \cdot \alpha \cdot opt_{1-\delta}$$

- »  $(1 - \epsilon)$ : Aufteilung des zu überwachenden Gebietes  $F$  in kleinere Kacheln
- »  $\alpha$ : Approximationsgarantie von  $\mathcal{A}$
- »  $opt_{1-\delta}$ : Diskretisierung der Sensorpositionen auf Gitterpunkte

### Vorgenommene Relaxationen:

- » Sensorradien dürfen größer als  $r$  sein
- » Gesamtzeit  $T$  darf kleiner als das Optimum sein



# Approximationsalgorithmus

## Ergebnis - 2

### Laufzeitverhalten

$$O\left(N + 1/\epsilon \cdot \frac{\epsilon^2 \cdot N}{opt_{1-\delta}} \cdot f\left(O(1/\delta^2 \epsilon^2)\right)\right)$$

- »  $O(N)$ : Kosten für Verschiebung der Sensorknoten auf Gitterpunkte
- »  $O(1/\epsilon)$ : Anzahl an Unterteilungen  $\mathcal{T}_i$  des Gebiets  $F$
- »  $O(\frac{\epsilon^2 \cdot N}{opt_{1-\delta}})$ : Anzahl zu betrachtender Kacheln
- »  $O(f(O(1/\delta^2 \epsilon^2)))$ : Laufzeit von Algorithmus  $\mathcal{A}$

### Bemerkungen:

- » Laufzeit linear in  $N$
- »  $\mathcal{A}$  darf exponentielle Zeit benötigen, da unabhängig von  $N$



- || -

# Funktionsapproximation

Gaussian Mixture Reduction

---

Dennis Schieferdecker – Forschungsinteressen



# Funktionsapproximation

## Problemformulierung - 1

### Gaussian Mixture Reduction

» gegeben:

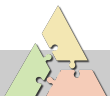
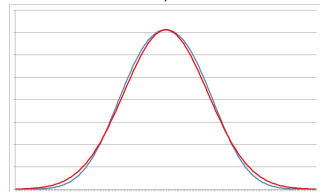
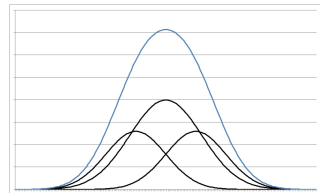
$$\text{Gaussian-Mixture } G = \sum_{i=1}^N w_i \cdot g_i$$

» gesucht:

$$\text{Approximation } A = \sum_{j=1}^K w_j \cdot a_j$$

mit minimaler integrierter  
quadratischer Distanz (ISD) zu  $G$

→ inspiriert durch Marco Huber (ISAS)



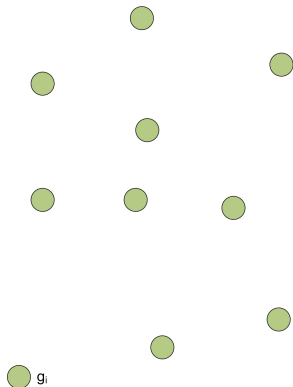
# Funktionsapproximation

## Problemformulierung - 2

### Algorithmik-Ansatz

Ansatz: Clustering / Facility Location

- » Betrachte  $g_{1..N}, a_{1..K}$  als Punkte in einer Ebene
- » Teile  $g_{1..N}$  in  $K$  Gruppen (Clustering) mit je einem Cluster-Zentrum  $a_j$  ein
- » Ziel: Minimierung eines Distanzmaßes  $d(g_i, a_j)$  innerhalb jeder Gruppe  $j$  für alle Gruppenmitglieder  $g_i$



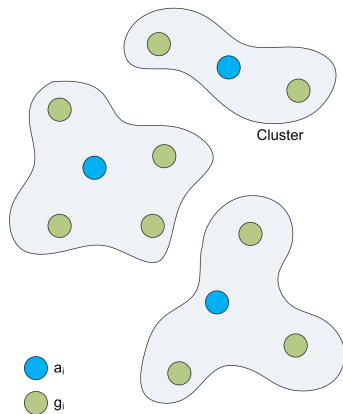
# Funktionsapproximation

## Problemformulierung - 2

### Algorithmik-Ansatz

Ansatz: Clustering / Facility Location

- » Betrachte  $g_{1..N}, a_{1..K}$  als Punkte in einer Ebene
- » Teile  $g_{1..N}$  in  $K$  Gruppen (Clustering) mit je einem Cluster-Zentrum  $a_j$  ein
- » Ziel: Minimierung eines Distanzmaßes  $d(g_i, a_j)$  innerhalb jeder Gruppe  $j$  für alle Gruppenmitglieder  $g_i$



# Funktionsapproximation

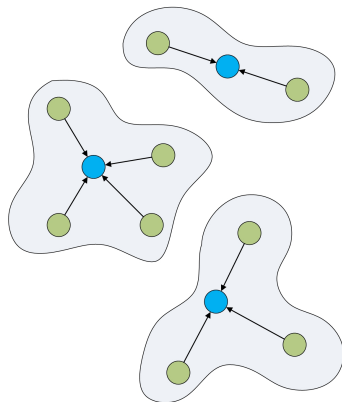
## Beschreibung des Algorithmus - 1

### Clustering-Algorithmus

» basiert auf **Llyods Algorithmus**

### Initialisierung

- » Generiere **Anfangslösung  $A_{init}$**   
z.B. mit einfachen Algorithmus  
(**hier**: Runnalls Algorithmus)
- » liefert **initiale Zentren  $\{a_{j,init}\}$**  und  
**Zuordnungen  $center(\cdot)_{init} : g_i \rightarrow a_{j,init}$**

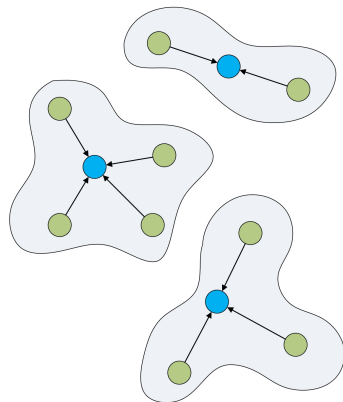


# Funktionsapproximation

## Beschreibung des Algorithmus - 2

### Iteration $it$

- f.a.  $g_i$ , berechne Distanz  $d(g_i, a_{j,it})$  zu jedem Zentrum  $a_{j,it}$
- Ordne jedes  $g_i$  dem Zentrum  $a_{j,it}$  mit minimaler Distanz zu  
→ neue Zuordnungen:  $center_{it+1}(\cdot)$
- Berechne  $a_{j,it+1}$  als Gaussfunktion, die Gewicht, Mittelwert und Varianz von  $\sum_{center_{it+1}(g_i)=a_{j,it}} w_i \cdot g_i$  erhält  
→ neue Zentren:  $a_{j,it+1}$

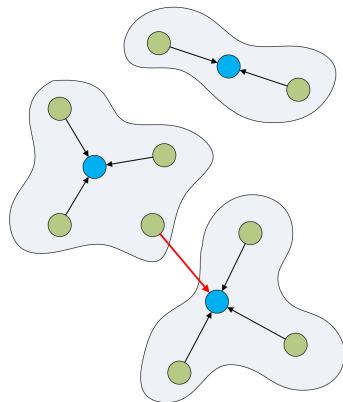


# Funktionsapproximation

## Beschreibung des Algorithmus - 2

### Iteration $it$

- f.a.  $g_i$ , berechne Distanz  $d(g_i, a_{j,it})$  zu jedem Zentrum  $a_{j,it}$
- Ordne jedes  $g_i$  dem Zentrum  $a_{j,it}$  mit minimaler Distanz zu  
→ neue Zuordnungen:  $center_{it+1}(\cdot)$
- Berechne  $a_{j,it+1}$  als Gaussfunktion, die Gewicht, Mittelwert und Varianz von  $\sum_{center_{it+1}(g_i)=a_{j,it}} w_i \cdot g_i$  erhält  
→ neue Zentren:  $a_{j,it+1}$

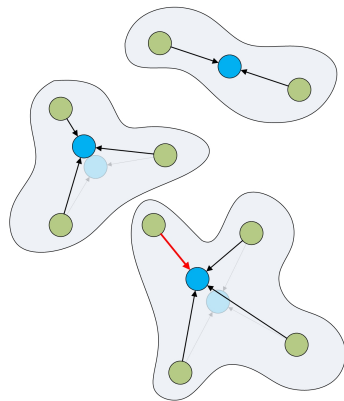


# Funktionsapproximation

## Beschreibung des Algorithmus - 2

### Iteration $it$

- f.a.  $g_i$ , berechne Distanz  $d(g_i, a_{j,it})$  zu jedem Zentrum  $a_{j,it}$
- Ordne jedes  $g_i$  dem Zentrum  $a_{j,it}$  mit minimaler Distanz zu  
→ neue Zuordnungen:  $center_{it+1}(\cdot)$
- Berechne  $a_{j,it+1}$  als Gaussfunktion, die Gewicht, Mittelwert und Varianz von  $\sum_{center_{it+1}(g_i)=a_{j,it}} w_i \cdot g_i$  erhält  
→ neue Zentren:  $a_{j,it+1}$



# Funktionsapproximation

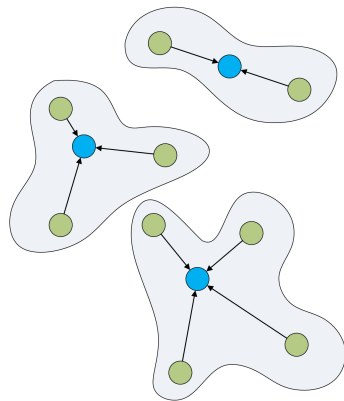
## Beschreibung des Algorithmus - 3

### Abbruchbedingung

- » Beende die Iterationen, wenn
  - » Approximationsqualität genügt
  - » Zuordnungen konstant bleiben

### verwendetes Distanzmaß $d(g_i, a_j)$

- » ISD zwischen Original-Mixture  $G$  und einer Approximation  $A'$
- »  $A'$  entspricht  $A_{it}$ , außer dass  $g_i$  dem Zentrum  $a_{j,it}$  zugerechnet wird



# Funktionsapproximation

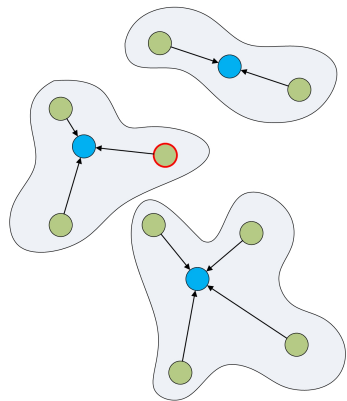
## Beschreibung des Algorithmus - 3

### Abbruchbedingung

- » Beende die Iterationen, wenn
  - » Approximationsqualität genügt
  - » Zuordnungen konstant bleiben

### verwendetes Distanzmaß $d(g_i, a_j)$

- » ISD zwischen Original-Mixture  $G$  und einer Approximation  $A'$
- »  $A'$  entspricht  $A_{it}$ , außer dass  $g_i$  dem Zentrum  $a_{j,it}$  zugerechnet wird



# Funktionsapproximation

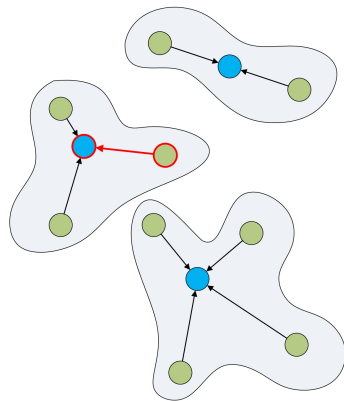
## Beschreibung des Algorithmus - 3

### Abbruchbedingung

- » Beende die Iterationen, wenn
  - » Approximationsqualität genügt
  - » Zuordnungen konstant bleiben

### verwendetes Distanzmaß $d(g_i, a_j)$

- » ISD zwischen Original-Mixture  $G$  und einer Approximation  $A'$
- »  $A'$  entspricht  $A_{it}$ , außer dass  $g_i$  dem Zentrum  $a_{j,it}$  zugerechnet wird



# Funktionsapproximation

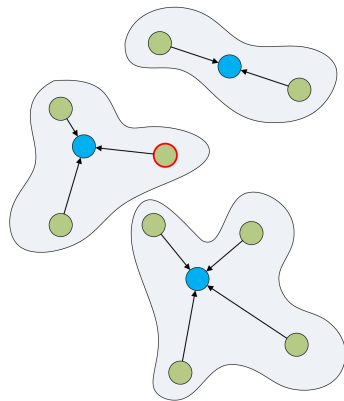
## Beschreibung des Algorithmus - 3

### Abbruchbedingung

- » Beende die Iterationen, wenn
  - » Approximationsqualität genügt
  - » Zuordnungen konstant bleiben

### verwendetes Distanzmaß $d(g_i, a_j)$

- » ISD zwischen Original-Mixture  $G$  und einer Approximation  $A'$
- »  $A'$  entspricht  $A_{it}$ , außer dass  $g_i$  dem Zentrum  $a_{j,it}$  zugerechnet wird



# Funktionsapproximation

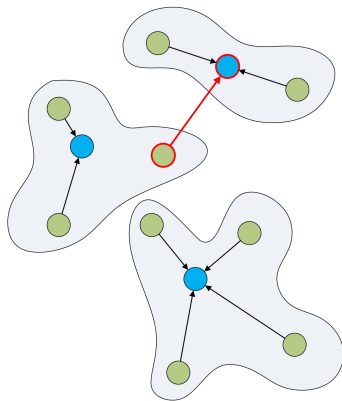
## Beschreibung des Algorithmus - 3

### Abbruchbedingung

- » Beende die Iterationen, wenn
  - » Approximationsqualität genügt
  - » Zuordnungen konstant bleiben

### verwendetes Distanzmaß $d(g_i, a_j)$

- » ISD zwischen Original-Mixture  $G$  und einer Approximation  $A'$
- »  $A'$  entspricht  $A_{it}$ , außer dass  $g_i$  dem Zentrum  $a_{j,it}$  zugerechnet wird



# Funktionsapproximation

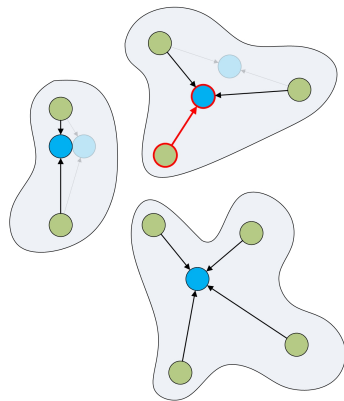
## Beschreibung des Algorithmus - 3

### Abbruchbedingung

- » Beende die Iterationen, wenn
  - » Approximationsqualität genügt
  - » Zuordnungen konstant bleiben

### verwendetes Distanzmaß $d(g_i, a_j)$

- » ISD zwischen Original-Mixture  $G$  und einer Approximation  $A'$
- »  $A'$  entspricht  $A_{it}$ , außer dass  $g_i$  dem Zentrum  $a_{j,it}$  zugerechnet wird



# Funktionsapproximation

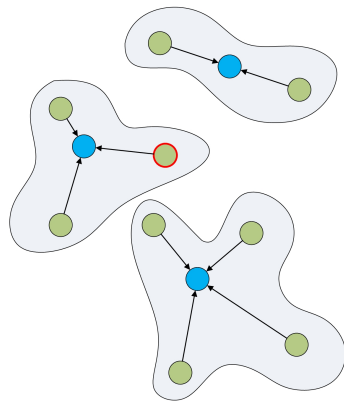
## Beschreibung des Algorithmus - 3

### Abbruchbedingung

- » Beende die Iterationen, wenn
  - » Approximationsqualität genügt
  - » Zuordnungen konstant bleiben

### verwendetes Distanzmaß $d(g_i, a_j)$

- » ISD zwischen Original-Mixture  $G$  und einer Approximation  $A'$
- »  $A'$  entspricht  $A_{it}$ , außer dass  $g_i$  dem Zentrum  $a_{j,it}$  zugerechnet wird



# Funktionsapproximation

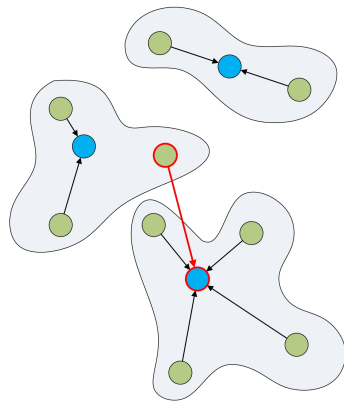
## Beschreibung des Algorithmus - 3

### Abbruchbedingung

- » Beende die Iterationen, wenn
  - » Approximationsqualität genügt
  - » Zuordnungen konstant bleiben

### verwendetes Distanzmaß $d(g_i, a_j)$

- » ISD zwischen Original-Mixture  $G$  und einer Approximation  $A'$
- »  $A'$  entspricht  $A_{it}$ , außer dass  $g_i$  dem Zentrum  $a_{j,it}$  zugerechnet wird



# Funktionsapproximation

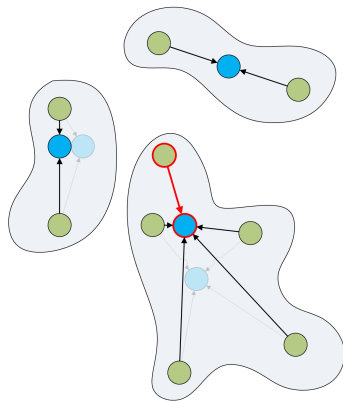
## Beschreibung des Algorithmus - 3

### Abbruchbedingung

- » Beende die Iterationen, wenn
  - » Approximationsqualität genügt
  - » Zuordnungen konstant bleiben

### verwendetes Distanzmaß $d(g_i, a_j)$

- » ISD zwischen Original-Mixture  $G$  und einer Approximation  $A'$
- »  $A'$  entspricht  $A_{it}$ , außer dass  $g_i$  dem Zentrum  $a_{j,it}$  zugerechnet wird



# Funktionsapproximation

## Vorläufige Ergebnisse - 1

Verfahren	N	K	Dauer*	Abweichung
Clustering	100	5	0,08s	2,07
	100	10	0,29s	0,96
	200	5	0,38s	1,47
	200	10	1,36s	0,81
	400	5	1,82s	1,11
	400	10	7,56s	0,62
West**	200	10	0,04s	3,81
Williams**	200	10	57,92s	1,03
PGMR**	200	5	4,78s	0,64

\* Zeiten nur bedingt vergleichbar: Clustering in C++, Rest in Matlab

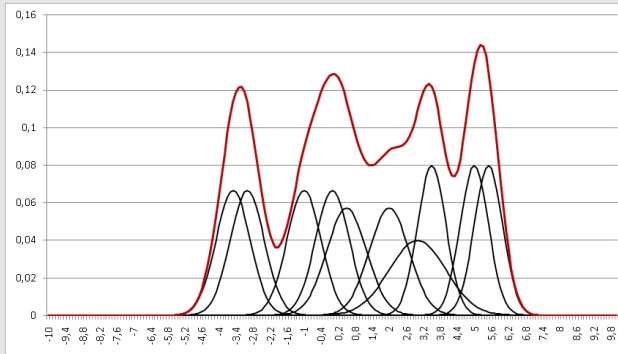
\*\* Werte übernommen aus [HuberHa08]

Dennis Schieferdecker – Forschungsinteressen



# Funktionsapproximation

## Vorläufige Ergebnisse - 2

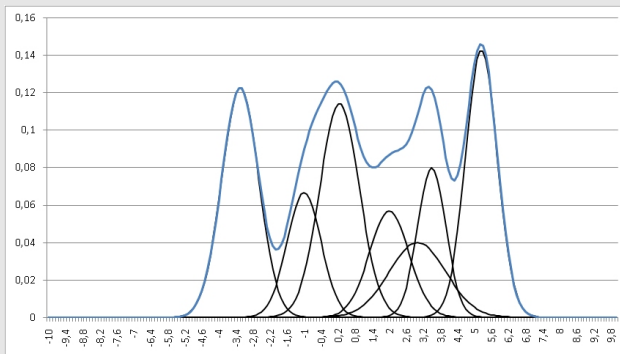


Original Gaussian Mixture (10 Komponenten)

Dennis Schieferdecker – Forschungsinteressen

# Funktionsapproximation

## Vorläufige Ergebnisse - 2

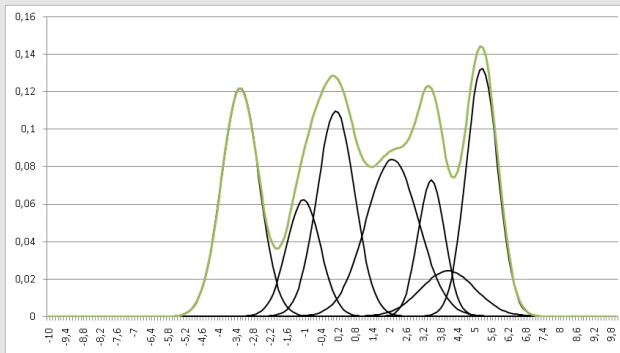


Clustering Approximation (7 Komponenten) - Fehler: 1, 18%

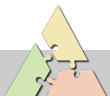


# Funktionsapproximation

## Vorläufige Ergebnisse - 2

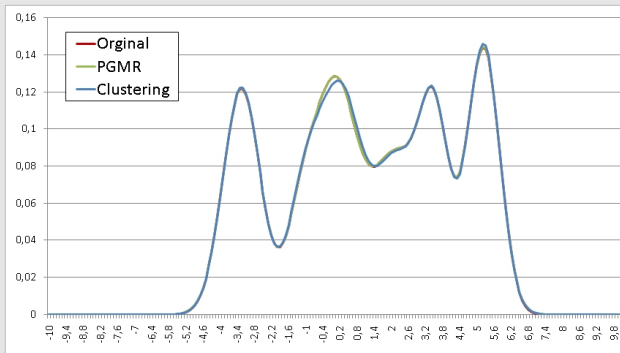


PGMR Approximation (7 Komponenten) - Fehler: 0,22%



# Funktionsapproximation

## Vorläufige Ergebnisse - 2



Vergleich



- III -

# Schlussteil

Zusammenfassung und Ausblick

---

Dennis Schieferdecker – Forschungsinteressen



# Zusammenfassung und Ausblick

## Zusammenfassung

### Gebietsüberwachung

- » Beweis der Schwere des Problems: NP vollständig
- » Schneller Approximationsalgorithmus

### Funktionsapproximation

- » Blickwinkel der Algorithmik: Clustering-Ansatz
- » erste Ergebnisse, noch unbefriedigend



# Zusammenfassung und Ausblick

## Ausblick

### Gebietsüberwachung

- » Implementierung des Algorithmus
- » Verallgemeinerung auf beliebige (konvexe) Sensorformen und allgemeinere Metriken (David Steurer - Princeton University)

### Funktionsapproximation

- » Verbesserung der Approximationsergebnisse
- » Verbesserung der Anfangslösung: hierarchischer Ansatz
- » Beschleunigung der Iterationen: andere Distanzfunktionen

### Weitere Gebiete



## Referenzen

---

[GrötschelLoSc81] M. Grötschel, L. Lovász, and A. Schrijver, "The ellipsoid method and its consequences in combinatorial optimization", in *Combinatorica 1 (1981) no. 2*, 1981

[MasuyamaIbHa81] S. Masuyama, T. Ibaraki, and T. Hasegawa, "The computational complexity of the m-center problems on the plane", in *IEICE Transaction 64 (1981) no. 2*, 1981

[HuberHa08] M. Huber and U. D. Hanebeck, "Progressive Gaussian Mixture Reduction", in *Proceedings of the 11th International Conference on Information Fusion (Fusion 2008)*, Cologne, Germany, July, 2008

